



## استخدام نماذج السلسلة الزمنية الموسمية في التنبؤ بكمية الطلب على الطاقة الكهربائية في مدينة اربيل لسنة (2010-2019)

ID No.3423

(PP 26 - 38)

<https://doi.org/10.21271/zjhs.24.5.3>

مروان طارق حسن

رُؤز محمد صالح طاهر

كلية الإدارة والاقتصاد-جامعة صلاح الدين/اربيل

معهد التقني الإداري-جامعة التقنية/اربيل

marwan.hasan@su.edu.krd

ravaz..salih@epu.edu.iq

الاستلام: 2019/12/26

القبول: 2020/08/30

النشر: 2020/12/10

### ملخص

في هذا الدراسة قام الباحثان بأخذ ظاهرة كميات الطلب على الطاقة الكهربائية والمتمثلة بسلسلة الزمنية لمعدلات الشهرية للظاهرة لمدينة (اربيل-العراق) للفترة ( 2010 - 2019 ) من (مديرية العامه لكهرباء مدينة اربيل - قسم السيطرة) وقد تكونت السلسلة من (111) قيمة ، حيث لاحظ الباحثان عند تحليل السلسلة وجود اتجاه عام متزايد للظاهرة ويدل ذلك على وجود طلب متزايد على الطاقة الكهربائية من قبل سكان المدينة مع وجود قليل من التغيرات والتباينات للقيم السلسلة وهذا دلالة على وجود حالة عدم الاستقرارية حول المتوسط والتباين على التوالي، وقد لوحظ ايضا وجود مرتبة موسمية بتغيير اخر وجود تغيرات تكرر نفسها كل فترة منتظمة ( 12 شهرا ) للظاهرة بمعنى اخر ان الحاجة او الطلب تزداد حدتها للفترة المذكورة، ولغرض تحويل السلسلة الى حالة الاستقرارية حول المتوسط تم اخذ الفرق الاول لإزالة السلسلة من تأثير الاتجاه العام اما لتحويل السلسلة لتكون مستقرة حول التباين تم اخذ التحويل اللوغاريتمي الطبيعي للسلسلة الزمنية بعد اخذ الفرق الاول ، اما لإزالة المرتبة او التغيرات الموسمية تم اخذ الفرق الموسمي الاول للفترة الموسمية (طول الموسم) مقدارها 12 شهرا. ولغرض التنبؤ بالمستقبل للظاهرة تم تطبيق منهجية بوكس-جينكتن الموسمية (Box-Jenkins) على السلسلة المستقرة وهذه الغرض قام الباحثان باختيار رتب الموسمية والغير الموسمية للنماذج المنهجية المذكورة( $p,q,P,Q=0,1,2,3,4$ ) للوصول الى افضل الانموذج موسمي مضاعف ملائم مع البيانات من بين النماذج المعنوية لغرض التنبؤ بالمستقبل حيث تم استخدام المعايير الثلاثة لغرض تشخيص النماذج المعنوية وهي كما يأتي: (متوسط مربع الخطأ) (Mean Square Error(MSE) ، معيار Akaike information criterion (AIC) ، معيار AIC<sub>c</sub>) ، معيار (Akaike information criterion AIC<sub>c</sub>) المعدل المستخدمة في البحث وقد استجينا ان النموذج الموسمي المضاعف تمثل السلسلة الزمنية احسن تمثيل لانه كان يمتلك اقل قيم للمعايير المذكورة اعلاه مع ملائمة لاجتيازه اختبار ملائمة SARIMA (0,1,1)(1,1,2)<sup>12</sup> النماذج اي بمعنى ان اخطاء النموذج المشخص كانت عشوائية ، وبعد اختيار ملائمة النموذج المقترن قمنا بالتنبؤ بكميات الطلب على الطاقة الكهربائية لمدة 12 شهرا (2019-2020) بهدف الاستفادة منها في عملية التخطيط للمستقبل.

**الكلمات المفتاحية :** السلسلة الزمنية الموسمية ، الاستقرارية ، منهجية بوكس-جينكتن، الطلب على الطاقة الكهربائية  
**مقدمة:**

اهتم الباحثون في المجالات التطبيقية ولاسيما الذين لهم العلاقة بالدراسات والبحوث التنبؤية ووضعوا العديد من الطرق والوسائل الاحصائية لغرض السيطرة على الظواهر المختلفة ، ومن هذه الظواهر ظاهرة الطلب على الطاقة الكهربائية ولاشك ان للطاقة الكهربائية بصورة عامة اهمية بالغة في حياتنا اليومية ولغرض الوصف والسيطرة على هذه الظاهرة حيث بالامكان استخدام ادوات ووسائل كمية والمتمثلة بالوسائل الاحصائية ومنها موضوع تحليل السلسلة الزمنية من خلال استخدام منهجية بوكس-جينكتن (B-J & Jenkins) والتي تمثل بالنماذج الاحصائية والتي تستخدمن لتكون القيم التنبؤية للمستقبل باستخدام نماذج دقيقة وملائمة مع بيانات الظاهرة المدروسة، حيث ان هذه التنبؤات تساعد المديرين والمخططين في مجال توزيع الطاقة الكهربائية في السيطرة وتوفير الكمية المناسبة منها والتي تحتاجها المنطقة حيث ان توسيع اي منطقة بالطاقة الكهربائية يجب ان يعتمد على كمية التي تحتاجها ولا تتحقق ذلك الا عن طريق التنبؤ بالكميات التي تحتاجها المنطقة اي بمعنى اخر ان يكون لدى الجهات المعنية المعلومات المسبقة بالكميات المطلوبة من الطاقة الكهربائية. ومن هذا المنطلق جاء هدف البحث في اجاد وتحديد افضل الانموذج دقيق وكفوء وملائم مع بيانات السلسلة الزمنية لكميات الطلب على



الطاقة الكهربائية لمدينة اربيل حيث يرى الباحثان ان هذه النتائج والتي تستخدم الاسلوب العلمي والدقيق تساعده في تزويد الجهات المعنية بالمعلومات الازمة لاتخاذ القرارات بشأن المستقبل ، اما مشكلة البحث فتمثل في كيفية استخدام نماذج السلسل الزمنية وبالتحديد منهجهية بوكس-جينكنز (Box & Jenkins(B-J) في تحديد اكفاء وادق الانموذج وبالتالي استخدام هذا الانموذج في تكوين قيم وفترات الثقة للتنبؤ بالمستقبل.

### 1: الجانب النظري:

ان لعملية التنبؤ اهمية كبيرة فقد اهتم الباحثون في شتى المجالات ووضعوا العديد من الطرق والنماذج التنبؤية وكانت من ابرزها نماذج بوكس-جينكنز (Box & Jenkins(B-J) حيث اثبتت هذه النماذج كفائتها ودققتها في مجالات تطبيقها ، لهذا السبب في هذا الجزء من البحث سوف نتناول دراسة النماذج السلسل الزمنية الموسمية ومراحل بنائها باتباع منهجهية (B-J).

#### 1.1: السلسلة الزمنية الموسمية :

يقصد بها مجموعة من القيم المشاهدات المرتبطة مع بعضها البعض والتي تولدت بشكل متsequab مع استمرار الزمن وتحتوي على ظاهرة الموسمية اي ان هنالك نمط تعيد نفسه كل فترة زمنية ثابتة (Fixed intervals) خلال عدد من السنوات المتتالية (Brock Well & Davis, 1991) وتدعى هذه الفترة بالفترة الموسمية ويرمز لها بالرمز (s) وقد تكون سنة او فصل او شهرا او تعيد نفسها كل عدد من الاوقات المتقاربة اي ان:

$$f(t+s) = f(t)$$

ويكون من الصعب تحديد فترة الموسمية اذا كان البيانات السلسلة الزمنية مدمجة مع تأثير الاتجاه العام حيث يجب معالجة مشكلة الاتجاه العام بعدها يمكن تحديد فترة الموسمية عندما تكون البيانات مستقرة ويمكن استخدام الفروق لتحويل البيانات الى حالة الاستقرارية لازالة نمط الاتجاه العام في بيانات السلسلة الزمنية الغير المستقرة ، ويتم تحديد الموسمية عن طريق فحص قيم الارتباطات الذاتية للفترات الزمنية (Makridakis & McGee, 1983) فإذا وجدت ان قيم الارتباطات الذاتية لها فروقات معنوية عند فترات زمنية ثابتة ( طول الموسم) فان السلسلة الزمنية المستقرة تكون موسمية (Anderson, 1976). وتوجد بعض المعايير الاحصائية التي تستخدم في وصف نوعية السلسلة الزمنية وتسهيل نمذجتها وتمثل بما يأتي:

#### 1.2: دالة الارتباط الذاتي: ACF

يعرف معامل الارتباط الذاتي بأنه مقياس يقيس درجة العلاقة بين قيم السلسلة الزمنية مع نفسها عند فترات ازاحة موسمية مختلفة ، ويمكن تقدير معامل الارتباط الذاتي في حالة السلسلة الزمنية الموسمية عند الازاحة (S) حسب الصيغة التالية : (Wei, 1990)

$$\hat{\rho}_s = \frac{Cov(Z_t, Z_{t+S})}{\sqrt{Var(Z_t)Var(Z_{t+S})}} \quad (1), S, t = 1, 2, \dots, n$$

حيث ان  $Z_t$  تمثل قيم مشاهدات السلسلة الزمنية ،  $\bar{Z}$  يمثل الوسط الحسابي للسلسلة الزمنية وان (S) تمثل عدد ازاحت (فجوات) الموسمية. ان توزيع الاصحائي لمعاملات قيم الارتباط الذاتي يتوزع طبيعياً بوسط حسابي صفر وتبين ( $1/n$ ) حيث ان (n) يمثل الحجم العينة ونكتب كالتالي:

$$\rho_S \sim NID(0, 1/n) \quad \forall S = 1, 2, \dots$$

ان دالة الارتباط الذاتي (ACF) تستخدمن في تحليل السلسلة الزمنية الموسمية حيث تعطي معلومات حول سلوك الظاهرة وعن مكوناتها. وتساعد في تحديد الاستقرارية للسلسلة وهل يوجد موسمية في البيانات السلسلة الزمنية. وهناك عدد من الاختبارات لتحديد استقرارية السلسلة الزمنية ومن هذه الاختبارات استخدم اختبار (Portmanteau) في البحث حيث اعتمدت هذه الصيغة على معاملات المقدرة لدالة الارتباط الذاتي كما في الصيغة ادناه (Box and Pierce, 1970) :

$$Q = n \sum_{k=1}^m \hat{\rho}_s^2 \sim \chi^2(m) \quad (2)$$

حيث يعتبر البيانات السلسلة الزمنية مستقرة عندما يكون احصاء الاختبار (Q) اقل من القيمة الجدولية للاختبار ( $\chi^2(m, \alpha)$ ) عند درجات الحرية (m) حيث ان (m) يمثل اكبر ازاحة موسمية .



### 1.3: دالة الارتباط الذاتي الجزئي (PACF): Partial Autocorrelation Function

يعرف معامل الارتباط الذاتي الجزئي بأنه مقياس لقياس درجة العلاقة بين قيم الظاهرة  $Z_t$  و  $Z_{t+s}$  بثبوت بقية الفترات الواقعية بينهما  $Z_{t+1}, \dots, Z_{t+s-1}$ . حيث ان هذه الدالة (PACF) هي اقل اهميتها عن دالة الارتباط الذاتي (ACF) ايضا مقياس مهم في تحليل السلسلة الزمنية في تشخيص الانموذج وتحديد درجته بشكل اولي ومن ثم فحص ملائمة الانموذج من خلال اختبار عشوائية الاخطاء (البواقي) (Wei, 1990).

### 1.4: نماذج السلسلة الزمنية الموسمية: Seasonal Time Series Models

#### 1.4.1: الانموذج الانحدار الذاتي الموسمي: Seasonal Autoregressive Model (SAR)

أن الصيغة الرياضية للنموذج الانحدار الذاتي الموسمي من الدرجة (P) تكون كما يأتي (الجادر وزين العابدين، 1985):

$$Z_t = \phi_s Z_{t-s} + \phi_{2s} Z_{t-2s} + \dots + \phi_{ps} Z_{t-ps} + a_t \quad (3)$$

حيث ان:

$Z_{t-is}$  : قيم مشاهدات السلسلة الزمية الموسمية ،  $P, \dots, P$

$S$ : طول الفترة الموسمية.

$\phi_i$  : معامل السلسلة الزمية الموسمية ،  $i = 1, 2, \dots, P$

$P$ : درجة الانموذج الموسمي.

$a_t$  : الخطأ (الضجة) (White Noise)، حيث ان  $a_t \sim NID(0, \sigma_a^2)$

#### 2.1.4: الانموذج الاوساط المتحركة الموسمي : Seasonal Moving Average Model (SMA)

ان الصيغة العامة للانموذج الاوساط المتحركة الموسمية من الدرجة (Q) تكتب بالشكل التالي (برى، 2002):

$$Z_t = a_t - \theta_s a_{t-s} - \theta_{2s} a_{t-2s} - \dots - \theta_{qs} a_{t-qs} \quad (4)$$

حيث ان  $\theta_i$  تمثل معامل الاوساط المتحركة الموسمي حيث  $i = 1, 2, \dots, Q$  وان  $Q$  تمثل درجة الانموذج الموسمي.

ويمكن كتابة الانموذج الانحدار الذاتي والاوساط المتحركة والذى ذكره في المعادلين (3,4) على التوالي بدلالة عامل الازاحة (الارتداد الخلفي (B)) وكما مبين ادناه:

$$a_t = \phi_p (B^s) Z_t \quad (5)$$

$$Z_t = \theta_q (B^s) a_t \quad (6)$$

#### 2.1.5: الانموذج المختلط(الانحدار الذاتي- الاوساط المتحركة) الموسمي:

#### Seasonal Mixed(Autoregressive-Moving Average) Model (SARMA)

ان الصيغة العامة للانموذج المختلط الموسمي من الدرجة (P,Q) باستخدام عامل الارتداد الخلفي (B) تكتب حسب

الصيغة التالية (الخضيري، 1996):

$$\phi_p (B^s) Z_t = \theta_q (B^s) a_t$$

$$(1 - \phi_s B^s - \phi_{2s} B^{2s} - \dots - \phi_{ps} B^{ps}) Z_t = (1 - \theta_s B^s - \theta_{2s} B^{2s} - \dots - \theta_{qs} B^{qs}) a_t \quad (7)$$

وايضا يمكن كتابة الانموذج المختلط بالشكل التالي:

$$Z_t = \phi_s Z_{t-s} + \phi_{2s} Z_{t-2s} + \dots + \phi_{ps} Z_{t-ps} + a_t - \theta_s a_{t-s} - \theta_{2s} a_{t-2s} - \dots - \theta_{qs} a_{t-qs} \quad (8)$$

ان النماذج اعلاه تطبق على السلسلة الزمنية المستقرة ، اما اذا كانت السلسلة الزمنية غير مستقرة ففي هذه الحالة يتم ايجاد الانموذج بعد اخذ الفروق الموسمية المطلوبة لتكوين سلسلة زمنية مستقرة ، حيث ان عامل الفرق الموسمي من درجة D هو:

$$\nabla_s^D = (1 - B^s)^D$$



عندما يكون السلسلة الزمنية الموسمية غير مستقرة يجب تحويلها الى سلسلة مستقرة حينئذ يكون الانموذج الموسمى الارتدادى (Seasonal Autoregressive Integrated Moving Average model) SARIMA (Box and Jenkins, 1976) كما في الصيغة التالية:

$$(1 - \phi_s B^s - \phi_{2s} B^{2s} - \dots - \phi_{ps} B^{ps})(1 - B^s)^D Z_t = (1 - \theta_s B^s - \theta_{2s} B^{2s} - \dots - \theta_{qs} B^{qs}) a_t \quad (9)$$

□

### 2.1.6: الانموذج الموسمى المضاعف: Multiplicative Seasonal Model (SARIMA)

أن الصيغة العامة للنموذج الموسمى المضاعف من الدرجة  $S$  تكتب حسب الصيغة التالية

(الخضيري، 1996)

$$\phi_p(B) \phi_P(B^s) \nabla^d \nabla_s^D Z_t = \theta_q(B) \theta_Q(B^s) a_t \quad (10)$$

حيث ان :

$p$  : درجة الانموذج الانحدار الذاتي غير الموسمى.

$d$  : درجة الفرق غير الموسمى.

$q$  : درجة الانموذج الاوساط المتحركة غير الموسمى.

$\phi_p(B)$  : معامل الانحدار الذاتي غير الموسمى.

$$\phi_p(B) = 1 - \phi_1 B - \phi_2 B^2 - \dots - \phi_p B^p \quad \square$$

$\nabla^d$  : معامل الفروق غير الموسمى عند الزمن  $d$  حيث ان  $B = 1 - \nabla$  ويستخدم لتحويل السلسلة الزمنية من حالة عدم الاستقرارية الى حالة الاستقرارية.

$\theta_q(B)$  : معامل الاوساط المتحركة غير الموسمى.

$$\theta_q(B^s) = 1 - \theta_1 B^s - \theta_2 B^{2s} - \dots - \theta_q B^{qs} \quad \square$$

$P$  : درجة الانموذج الانحدار الذاتي الموسمى.

$D$  : درجة الفرق الموسمى.

$Q$  : درجة الانموذج الاوساط المتحركة الموسمى.

$\phi_P(B^s)$  : معامل الانحدار الذاتي الموسمى.

$$\phi_P(B^s) = 1 - \phi_s B^s - \phi_{2s} B^{2s} - \dots - \phi_{ps} B^{ps}$$

$\nabla_s^D$  : معامل الفروق الموسمى عند الزمن  $D$  حيث ان  $B^s = 1 - \nabla_s$  ويستخدم لتحويل السلسلة الزمنية الموسمية من حالة عدم الاستقرارية الى حالة الاستقرارية.

$\theta_Q(B^s)$  : معامل الاوساط المتحركة الموسمى.

$$\theta_Q(B^s) = 1 - \theta_s B^s - \theta_{2s} B^{2s} - \dots - \theta_{qs} B^{qs}$$

### 1.5: اختبار استقرارية السلسلة الزمنية، Testing Stationarity of Time Series

ان تحليل السلسلات الزمنية للظواهر المختلفة تفترض ان تكون السلسلة قيد الدراسة مستقرة اي ساكنة خالية من اي تذبذبات ولكن في كثير من الاحيان عند اخذنا للسلسلة الزمنية عن الظواهر الطبيعية مثلاً الدرجات الحرارة ، الرطوبة النسبية ، كمية الامطار المتتساقطة وما الى ذلك نجد ان السلسلة الزمنية تكون غير مستقرة ، ويمكن ان نستدل ما اذا كانت السلسلة الزمنية مستقرة او غير مستقرة من خلال رسم السلسلة الزمنية عبر الزمن او من خلال رسم قيم معاملات الارتباطات الذاتية (ACF) . ان عدم استقرارية السلسلة تعود للأسباب التالية (عطية، 2000):



✓ وجود اتجاه عام في السلسلة الزمنية ( ان تحتوي السلسلة على نمط متزايد او متناقص عبر الزمن ويعود ذلك الى عدم ثبات متوسط السلسلة عبر الزمن اي عدم استقراريتها حول المتوسط )

✓ وجود تذبذبات او تقلبات موسمية ( هناك نمط معين او ثابت تعيد نفسها كل فترة زمنية ثابتة وتسمى طول الموسم ). (S)

✓ وجود تذبذبات مختلفة غير ثابتة في السلسلة الزمنية ويكون سبب هذه الاختلافات هو تباينات السلسلة الزمنية غير ثابتة عبر الزمن اي وجود حالة عدم استقرارية السلسلة حول التباين .

لتجريد او لازالة السلسلة الزمنية من حالة عدم الاستقرارية وتحويلها الى سلسلة مستقرة نقوم باتباع الطرق والاساليب التالية (الغانم، 2003): في حالة وجود اتجاه عام في السلسلة يتم اخذ الفروقات من الدرجات المعينة حسب فترات ازاحة معينة فمثلا عند اخذ الفروق من الدرجة الاولى تكون:

$$W_t = Z_t - Z_{t-1} = (1 - B)Z_t$$

وعند اخذ الفروق من الدرجة الثانية تكون:

$$W_t = \nabla^2 Z_t = \nabla Z_t - \nabla Z_{t-1} = (1 - B)^2 Z_t$$

حيث ان (B) تمثل معامل الارتداد الخلفي اي ان  $(1 - B) = \nabla$ . حيث يقوم الباحثان باخذ الفروق من درجة (d) حتى يحصل على سلسلة زمنية مستقرة وان الفروق من درجة (d) تكون:

$$W_t = \nabla^d Z_t = (1 - B)^d Z_t$$

ولازلة التأثيرات الموسمية من السلسلة الزمنية يتم اخذ الفروق الموسمية وذلك من خلال طرح القيم من بعضها البعض حسب طول فترة الموسمية (فترة الازاحة او الابطاء ) فعلى سبيل المثال عند اخذ الفرق الموسمى الاول وكان طول الموسم ربع سنوى اي ان الموسمية تعيد نفسها كل اربعة اشهر فتكون (عطية، 2000):

$$y_t = Z_t - Z_{t-4}$$

اما اذا كان طول الفترة الموسمية اثنا عشرة شهرا واخذنا الفروق الموسمى من الدرجة الاولى فتكون :

$$y_t = Z_t - Z_{t-12}$$

حيث ان  $y_t$  تمثل السلسلة الزمنية التي تمت ازالة التأثيرات الموسمية منها و  $Z_t$  تمثل السلسلة الزمنية الاصلية . نفرض ان لدينا سلسلة زمنية ولتكن  $y_t$  وفي حالة عدم ثبات التباين نأخذ الجذر التربيعي (على سبيل المثال) للسلسلة الزمنية فت تكون لدينا سلسلة زمنية اخرى فنسماها  $Z_t$  وفي حالة وجود اتجاه عام اي عدم ثبات متوسط السلسلة المحولة يتم اخذ الفروق من الدرجة الاولى (مثلا) حتى نحصل على سلسلة زمية مستقرة فنكون سلسلة زمنية اخرى فنسماها  $W_t = Z_t - Z_{t-1}$  ولازلة التأثير الموسمى يتم اخذ الفرق الموسمى الاول وذلك حسب طول الموسم مثلا اربعة اشهر فنكون سلسة اخرى ولتكن  $F_t = W_t - W_{t-4}$  وهكذا....

**1.6: مراحل بناء الانموذج الموسمى:** بعد التحقق من استقرارية السلسلة الزمنية للظاهرة المدروسة ، يتم الاعتماد على منهجهية (بوكس-جينكينز) واستخدام هذه منهجهية في تحديد احد نماذجها في التنبؤ المستقبلي وان هذه منهجهية تعتمد على اربعة مراحل بهدف تحديد الانموذج الملائم التي تمثل الظاهرة المدروسة. وهي كما يأتي (Box and Jenkins, 1976):

**1.6.1: مرحلة التشخيص :** يتم تشخيص الانموذج المناسب والتي تمثل الظاهرة المدروسة او تحديده من خلال مطابقة رسم دالى الارتباط الذاتى (ACF) والارتباط الذاتى الجزئى (PACF) مع السلوك النظري لهاتين الدالتين حيث يتم الاعتماد حسب منحنى دالى الارتباط الذاتى والجزئى وكما مبين ادناه(الخضيرى، 1996):



الجدول (1) تمثل طبيعة الانموذج بأعتماد على السلوك النظري لمنحنى الارتباط الذاتي

الانموذج	دالة الارتباط الذاتي (ACF)	دالة الارتباط الذاتي الجزئي (PACF)
SAR(P)	تناقص تدريجياً تسلك سلوكاً آسياً أو سلوك دالة الجيب (يتلاشى تدريجياً)	قطع بعد الإزاحة الموسمية P (Cuts-off)
SMA(Q)	قطع بعد الإزاحة الموسمية P (Cuts-off)	تناقص تدريجياً تسلك سلوكاً آسياً أو سلوك دالة الجيب (يتلاشى تدريجياً)
SARMA(P,Q)	تناقص تدريجياً تسلك سلوكاً آسياً أو سلوك دالة الجيب (يتلاشى تدريجياً)	تناقص تدريجياً تسلك سلوكاً آسياً أو سلوك دالة الجيب (يتلاشى تدريجياً)

المصدر: الخصيري، 1996

1.6.2: مرحلة التقدير: في هذه المرحلة يتم تقدير معالم الانموذج الموسمى الذى تم اختياره في المرحلة الأولى، حيث ان هناك عدة من الطرائق لتقدير معلمات الانموذج ومن اهمها طريقة مربعات الصغرى الاعتيادية (Method of Ordinary Least Square) و طريقة الامكان الاعظم (Maximum Likelihood Method) (Box&Pierce,1970).

1.6.3: مرحلة تحديد كفاءة النماذج: بعد تقدير ناتي الى اختبار مدى معنوية معلمات النماذج وهل هي ضرورية بمقاييسها في الانموذج او انها غير معنوية وعندها يجب حذف المعلمات من الانموذج لأنها لا تختلف معنويًا عن الصفر(Bry, 2002). بعد اختيار النماذج المعنوية تقوم بالبحث عن افضل الانموذج كفؤة من خلال استخدام عدد من المعايير لتحديد مدى كفاءة النماذج حيث تم استخدام في البحث معيارين وكما مبين ادناه (Box and Jenkins,1976):

### 1.6.3.1: متوسط مربعات الاخطاء Mean Square Error MSE

ويمكن حسابه باستخدام الصيغة التالية( Box & Jenkins,1976):

$$MSE = \frac{\sum_{t=1}^n a_t^2}{n - r} \quad (10)$$

حيث ان (r) تمثل عدد المعلمات المقدرة في الانموذج.

### 1.6.3.2: معيار Akaike information criterion AIC

ويمكن حسابه باستخدام الصيغة التالية(Akaike,1973):

$$AIC = n \ln(MSE) + n(\ln 2\Pi + 1) + 2[(p + q) + 1] \quad (11)$$

### 1.6.3.3: معيار Akaike information criterion AICc (العدل)

ويمكن حسابه باستخدام الصيغة التالية(Akaike,1973):

$$AIC_c = n \ln(MSE) + n(\ln 2\Pi + 1) + \frac{2[(p + q) + 1]n}{n - (p + q) - 2} \quad (12)$$

حيث ان:



(٢) تمثل عدد المعلمات المقدرة في الانموذج.

 $a_t$  : تمثل الخطأ أو (الضجة). $n$  : تمثل عدد مشاهدات السلسلة الزمنية. $\Pi$  : كمية ثابتة وتساوي (3.141592654). $p$  : عدد المعلمات المقدرة في الانموذج الانحدار الذاتي. $q$  : عدد المعلمات المقدرة في الانموذج المتوسط المتحرك.

### 1.6.4: فحص ملائمة الانموذج :Diagnostic Checking of Model

بعد اختيار افضل الانموذج معنوي من بين النماذج المعنوية الاخرى باستخدام المعايير المستخدمة ، يأتي مرحلة فحص مدى ملائمة او صلاحية الانموذج لتمثيل بيانات السلسلة الزمنية ويتم ذلك عن طريق فحص البوافي (الخطاء) ويتم ذلك باستخدام اختبار(Portmanteau) لفحص مدى ملائمة الانموذج وذلك باعتماد على احصاء Q (احصائية Box & Pierce) لاختبار معنوية الارتباطات الذاتية للبوافي وحسب الصيغة التالية:(Box and Pierce, 1970)

$$Q = n \sum_{k=1}^m \hat{\rho}_k^{(a)} \sim \chi^2(m-r, \alpha) \quad (14)$$

حيث ان:

 $m$  يمثل اكبر ازحة  $k$ . $\hat{\rho}_k$  : يمثل تقدير معاملات الارتباط الذاتي للبوافي.

فإذا كانت قيمة الاختبار  $Q$  اصغر من قيمة  $\chi^2$  الجدولية وعند درجات الحرية ( $r - m$ ) ومستوى المعنوية ( $\alpha$ ) تقبل فرضية العدم ونستنتج من ذلك ان الارتباطات الذاتية غير معنوية مما يدل على ان البوافي عشوائية وتوزع توسيعا طبيعيا مما يؤكد الى ان الانموذج جيد وملائم .

## 2، جانب التطبيقي :

### 2.1، وصف البيانات:

من اجل تحقيق الهدف الذي جاء به البحث ، قام الباحثان باستخدام السلسلة الزمنية والتي تمثل بمقدار الطلب على الطاقة الكهربائية لمدينة اربيل والمقدرة باليكاواط والتي اخذت من (مديرية العامة لكهرباء مدينة اربيل - قسم السيطرة)، حيث تكونت السلسلة الزمنية لكميات الطلب من (111) مشاهدة والتي تمثل المعدل الشهري للفترة المأخوذة من 2010 الى 2019 وان متوسط السلسلة الزمنية لكميات الطلب كانت (344) وقيمتها الدنيا كانت (1003) وقيمها العليا (Oct.) من سنة (2010) واقصى قيمتها كانت (2218) حيث سجلت في شهر (Jan.) من سنة (2018) وكما مبين في الجدول (1). وتم الحصول على النتائج مستخدما برنامج الاحصائي الجاهز (STATGRAPHICS Centurion) وبرنامج (MS.EXEEL) .

الجدول رقم (2) يبين معدل الاسبوعي بمقدار الطلب على الطاقة الكهربائية للفترة (2010-2019)

Months	2010	2011	2012	2013	2014	2015	2016	2017	2018	2019
Jan.	668	660	845	979	1163	1274	1652	1976	2218	2211
Feb.	635	668	856	984	1057	1240	1524	1829	2216	2128
Mar.	572	502	648	876	850	951	1199	1442	1738	1373
Apr.	482	441	514	555	665	806	962	1072	1241	
May.	433	345	480	591	674	847	964	1045	1256	
Jun.	469	512	598	734	840	1042	1201	1319	1426	



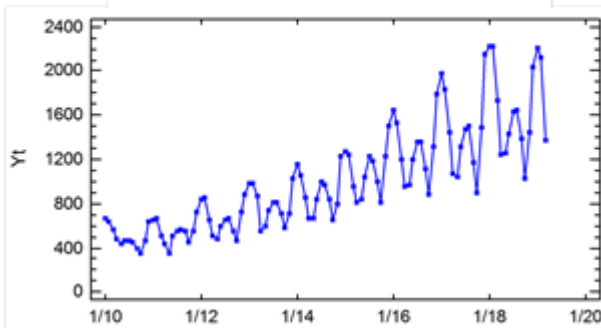
Jul.	467	550	654	814	995	1225	1353	1467	1634
Aug.	457	573	661	808	974	1186	1355	1497	1653
Sep.	397	545	549	717	842	1002	1119	1168	1392
Oct.	344	455	463	586	653	804	885	893	1025
Nov.	468	545	725	705	795	1235	1309	1483	1442
Dec.	638	718	881	1021	1224	1498	1795	2153	2034

## 2.2، تحليل السلسلة الزمنية:

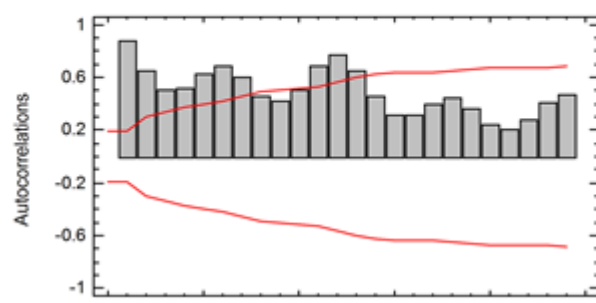
### 2.2.1، رسم السلسلة الزمنية:

يتم رسم السلسلة الزمنية للمعدلات الأسبوعية لكميات الطلب على الطاقة الكهربائية وايضا رسم معاملات قيم دالة الارتباط الذاتي من اجل التعرف على خصائص الاولية للسلسلة الزمنية وكما مبين ادناه:.

الشكل (١) يمثل سلسلة الزمنية الاصلية



الشكل (٢) يمثل قيم معاملات الارتباطات الذاتية لسلسلة كميات

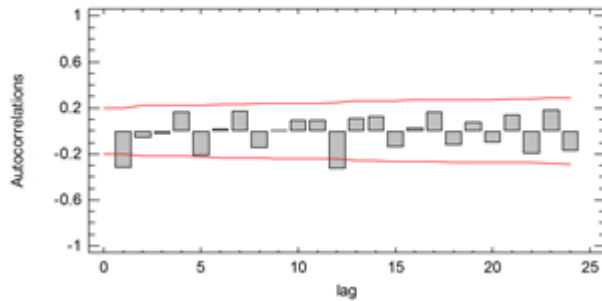


### 2.2.2، اختبار استقرارية السلسلة الزمنية:

من خلال رسم السلسلة الزمنية كما مبين في الشكل (١) تبين بأن هنالك اتجاه عام(زيادة) وهذا يعني بان السلسلة غير مستقرة حول المتوسط عبر الزمن ، اضافة الى وجود تذبذبات ويعني بان تباين السلسلة غير مستقر. ولتأكد من عدم استقرارية السلسلة تم رسم معاملات دالة الارتباط الذاتية كما في الشكل (٢) على التوالي ونستنتج من الرسم ان معاملات دالة الارتباط الذاتي لا تدخل ضمن حدود الثقة ( $0.1860 \pm \frac{1.96}{\sqrt{111}}$ )، ومن اجل حصول على الاستقرارية تم اخذ الفرق الاول للسلسلة الزمنية وذلك لازاله عدم الاستقرارية حول المتوسط وكذلك اخذ تحويل اللوغاريتم الطبيعي لغرض ازالة عدم الاستقرارية حول التباين ، مع ملاحظة من الشكل (٤) وجود التذبذبات تعيد نفسها كل (١٢) شهرا وهذا يدل على وجود مركبة موسمية وبالتالي وجود تأثيرات موسمية في بيانات السلسلة الزمنية. ولإزاله هذه التأثيرات اخذنا الفرق الموسمي الاول من الدرجة (١٢) وذلك بعد اخذ (الفرق الاول والتحويل اللوغاريتم الطبيعي) وبعد رسم معاملات دالة الارتباط الذاتي تبين بان السلسلة تحولت الى حالة الاستقرارية وان معاملات قيم الدالة الارتباطات الذاتية كلها غير معنوية (مستقرة ) ماعدا عند ازاحة (١) و (١٢). كما في الاشكال (٣) و(٤) ويوضح ان قيم معاملات الارتباطات الذاتية تقع تقريبا بين حدود الثقة ( $0.1860 \pm 0.0160$ ).



الشكل (٤) بفضل قدر معاملات الارتباطات الذاتية لسلسلة كميات الطلب بعد التحقق من حالة الاستقرارية



## 2.4 تشخيص الانموذج الموسمى وتقدير معلماته:

بعد مرحلة التتحقق من استقرارية السلسلة الزمنية قيد البحث نأتي الى مرحلة تشخيص الانموذج التي يتلائم مع بيانات المأخوذة ، وننظر لصعوبة التشخيص بأعتماد على الجانب النظري اي صعوبة مطابقة النمط المذكور في جانب النظري مع نتائج التحليل بيانات السلسلة الزمنية ولهذا السبب تم اختيار عدد من النماذج الانحدار الذاتي والمتوسط المتحرك الموسمية والغير الموسمية (نماذج مختلطة) ذو رتب (p, q, P, Q = 0,1,2,3,4) . وقبل التشخيص تم التأكد من معنوية النماذج التي تم اختيارها من قبل الباحثان وبعد التحليل توصلنا الى مجموعة من النماذج المعنوية وكما مبين في الجدول رقم (4). بعدها نأتي الى اختيار افضل الانموذج مشخص من بين النماذج المعنوية ويتم ذلك على اساس قيم المعايير التي تتناولها في جانب النظري بالاعتماد على المعادلات (10,11,12) على التوالي ، وبالتالي اختيار افضل الانموذج التي تمتلك اقل قيمة للمعايير المستخدمة .

الجدول (3) يمثل تطبيق المعايير على النماذج المعنوية لسلسلة كمية الطلب				
Models	RMSE	MSE	AIC	AICc
SAIRMA(0,1,1)(0,1,0) <sup>12</sup>	90.4599	8182.9935	1319.0936	1319.2047
SAIRMA(0,1,1)(1,1,2) <sup>12</sup>	<b>64.5639</b>	<b>4168.4972</b>	<b>1250.2239</b>	<b>1250.7953</b>
SAIRMA(1,1,0)(1,1,2) <sup>12</sup>	65.1616	4246.0341	1252.2696	1252.8410
SAIRMA(0,1,0)(0,1,3) <sup>12</sup>	65.433	4281.4775	1251.1923	1251.5696
SAIRMA(1,1,1)(0,1,3) <sup>12</sup>	65.3295	4267.9436	1254.8409	1255.6485
SAIRMA(0,1,0)(2,1,2) <sup>12</sup>	68.0977	4637.2967	1262.053798	1262.6252

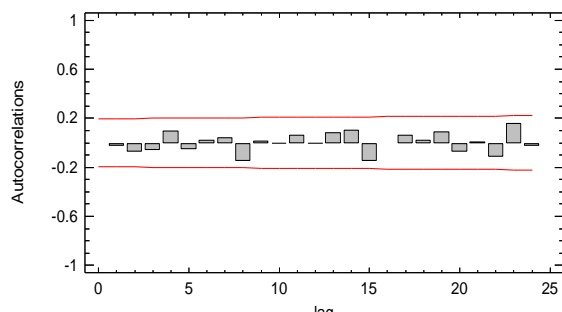
المصدر: تم الاعداد بالاعتماد على STATGRAPHICS Centurion

## 2.5: فحص ملائمة الانموذج الشخص:

بهدف فحص ملائمة الانموذج الشخص لسلسلة الزمنية تم رسم قيم معاملات دالة الارتباط الذاتي للبوافي (باعتماد على برنامج STATGRAPHICS Centurion) للنموذج الشخص SARIMA(0,1,1)(1,1,2)<sup>12</sup> كما مبين في الشكل رقم (5) حيث من خلال رسم قيم معاملات الارتباطات الذاتية للبوافي للنموذج الشخص لسلسلة الشخص كميات الطلب ان قيمها تقع بين حدود الثقة ( $\pm \frac{1.96}{\sqrt{111}} = \pm 0.1860$ ) وهذا يدل على ان الانموذج الشخص ملائم ، لغرض تشخيص الانموذج الملائم قام الباحثان استنادا على اختبار Box-Pierce test ( ) لاختبار عشوائي البوافي للنموذج المعنوي كما في المعادلة رقم (14) ( ) نقارن القيم المحسوبة والذي مقدارها (14.5494) للنموذج الشخص مع قيمتها الجدولية وبالبالغة (31.4104) عند درجات الحرية (m-r=20) حيث ان m تمثل اكبر ازاحة و r تمثل عدد معلمات الانموذج الشخص وعند مستوى معنوية (0.05) حيث نلاحظ ان القيمة المحسوبة للاختبار كانت اقل من القيمة الجدولية وهذا يدل على عشوائية الاخطاء وبالتالي ملائمة النموذج للتنبؤ المستقبلي .



الشكل (5) يمثل قيم معاملات الارتباطات الذاتية للبواقي للنموذج SARIMA(0,1,1)(1,1,2)12 لسلسلة الزمنية المستقرة



الجدول (4) يمثل قيم التقديرية لمعلمات الانموذج الموسمى  
SARIMA (0,1,1)(1,1,2)12

المعلمات	القيم المقدرة	P-value
$\theta_1$	0.409904	0.0000044
$\phi_1$	-0.727956	0.000000
$\theta_1$	-0.162831	0.003584
$\theta_2$	0.848366	0.000000

المصدر: تم الاعداد بالاعتماد على STATGRAPHICS Centurion

ويمكن كتابة الانموذج الموسمى المضاعف الملائم لبيانات السلسلة الزمنية المستقرة SARIMA (0,1,1)(1,1,2)12 بالاعتماد على المعادلة رقم (10) وحسب القيم المعلمات المقدرة للنموذج المذكور كما في الجدول رقم (4) وكما يأتي:

$$\phi_1(B)\nabla \nabla_{12} Z_t = \theta_1(B)\theta_2(B^{12})a_t$$

ويمكن اعادة كتابة الصيغة اعلاه مع تعويض قيم المعلمات للنموذج كما مبين ادناه:

$$(15) (1 + 0.727956 B)(1 - B)(1 - B^{12})Z_t = (1 - 0.409904B)(1 + 0.162831B^{12} - 0.848366B^{24})a_t$$

قمنا باستخدام الانموذج الموسمى المضاعف المذكور اعلاه في التنبؤ بكمية الطاقة الكهربائية لمدينة اربيل وتم استخدام البرنامج الاحصائى الجاهز (STATGRAPHICS Centurion) في تكوين قيم التنبؤية والفترات الثقة التابعة لها لـ (12) شهر لسنة (2019-2020) وان النتائج مبين في الجدول رقم (5). وتم رسم السلسلة الزمنية والتنبؤية لفترات الثقة والموضع كما في الشكل رقم (6,7).

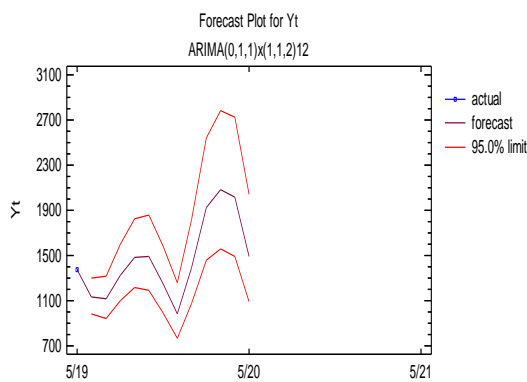
الجدول (5) يمثل قيم التنبؤية وفترات الثقة لسلسلة الزمنية لكمية  
الطلب على الطاقة الكهربائية لمدينة اربيل لسنة (2019-2020) لـ 12 شهرًا

الاسبوع	قيم التنبؤية	فتراء الثقة الدنيا	فتراء الثقة العليا
19-Apr	1128.71	978.524	1301.94
19-May	1112.69	942.701	1313.33
19-Jun	1326.8	1101.64	1597.98
19-Jul	1487.06	1212.45	1823.88
19-Aug	1488.17	1193.25	1855.98
19-Sep	1251.53	988.05	1585.28
19-Oct	980.135	762.599	1259.72
19-Nov	1394.56	1070.21	1817.22
19-Dec	1927.87	1460.25	2545.24
20-Jan	2081.13	1556.76	2782.12
20-Feb	2013	1487.87	2723.48
20-Mar	1494.42	1091.92	2045.3

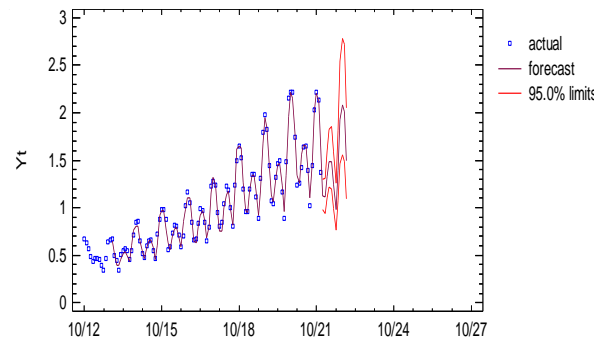
المصدر: تم الاعداد بالاعتماد على STATGRAPHICS Centurion



الشكل (7) تمثل سلسلة القيم وفترات الثقة المتباينة (2019-2029) لـ 12 شهرًا



الشكل (6) يمثل سلسلة كميات الطلب على الطاقة الكهربائية مع القيم وفترات الثقة المتباينة (2019-2029) لـ 12 شهرًا



### 3.1: الاستنتاجات:

- اعتماداً على الجانب التطبيقي تم التوصل إلى عدد من الاستنتاجات وكما مبين أدناه:
- وجود اتجاه عام متزايد في بيانات السلسلة الزمنية مع وجود نمط موسمي تعيد نفسها كل 12 شهراً وهذا دل على عدم استقرارية السلسلة الزمنية ، ولإزالة الاتجاه العام تم اخذ الفرق الاول وكذلك لإزالة التغيرات والتواترات القليلة تم اخذ اللوغاريتم الطبيعي ، أما للإزالة التأثير الموسمي تم اخذ الفرق الموسمي الاول من درجة 12 وبعد إزالة التأثيرين من السلسلة توصل الباحثان إلى حالة الاستقرارية في بيانات السلسلة المذكورة.
  - ان الاتجاه المتزايد تؤكد وجود طلب متزايد على الطاقة الكهربائية حسب السلسلة الزمنية التي تمثل البيانات الأسبوعية وكذلك تكرر الحاجة كل 12 شهراً.
  - استنتج الباحثان ان هناك (6) نموذجاً معنوياً من بين النماذج الموسمية المضاعفة والتي تم اخذها من قبل الباحثان، وبعد تطبيق معايير الثلاثة وذلك لغرض تشخيص الانموذج الكفؤ استنتج الباحثان ان الانموذج SARIMA(0,1,1)(1,1,2)<sup>12</sup> قد تم تحديده وتشخيصه لاملاكه اقل قيم للمعايير الثلاثة (MSE,AIC, AICC) مقارنة مع النماذج الأخرى المعنوية.
  - تم اخذ الانموذج الشخص والملازم لغرض التنبؤ المستقبلي لكميات الطلب على الطاقة الكهربائية في مدينة اربيل وتم حساب القيم التنبؤية وفترات الثقة لمدة 12 شهراً لسنة (2019-2020).

### 3.2: التوصيات:

- على ضوء الاستنتاجات يوصي الباحثان بما يلي:
- الأخذ بنتائج هذا البحث والصيغة التي تم الاعتماد عليها في عملية التنبؤ من قبل الجهات المعنية (وزارة كهرباء/إقليم كردستان العراق) لما لها من أهمية كبيرة في عملية التخطيط المستقبلي لاتباع الباحثان الاسلوب العلمي الدقيق والملازم في التنبؤ.
  - نوصي الباحثين باخذ البيانات عن الظاهرة المدروسة لمدن اخرى او على مستوى المحافظة والاقضية لغرض التنبؤ والاستفادة منها في التخطيط المستقبلي وكذلك لغرض المقارنة بينها.

### المصادر:

- الخضيري، محمد قدوري عبد ، (1996)، "دراسة مقارنة لطرائق التقدير والتنبؤ لبعض نماذج بوكس -جينكز الموسمية " ، رسالة ماجستير احصاء - كلية الادارة والاقتصاد- جامعة بغداد.
- الغانم، احمد بن عبد الله،(2003)،"تحليل السلسلة الزمنية لمؤشر اسعار الاسهم في المملكة العربية السعودية باستخدام منهجهية Box Jenkins "، مجلة جامعة الملك عبد العزيز، العدد الثاني، ص(3-25).
- برى ، عدنان ماجد،(2002)"طرق التنبؤ الإحصائي-جزء الأول" ، كلية العلوم ،جامعة ملك سعود ،مملكة العربية السعودية.



عطية، عبد القادر محمد، (2000)، "طرق قياس العلاقات الاقتصادية"، الاسكندرية ، دار الجامعات المصرية.

Akaike, H. (1973), "Information theory and extension of the maximum likelihood principle", In: B. N. petrov and F. Csaki, eds, 2nd International Symposium on Information Theory, Academia Kiado, Budapest, pp.267-281.

Anderson , O.D. (1976) , " Time series analysis and forecasting" , Butter worths , London and Boston.  
Brock Well , P.J. and Davis , R.A. (1991) , " Time Series Theory and Methods" , 2nd ed , Spring Verlag New York Inc. , New York , U.S.A. .

Box, G.E.P. and Pierce, D.A., (1970) "Distribution of the Residual Autocorrelation in Autoregressive – integrated moving Average Time Series Models", JASA, VOL.65, P. (1520-1526).

Box, G.E.P. and Jenkins, G.M.,(1976),"Time Series Analysis Forecasting and control", Holden day, London  
Makridakis ,S. ,Wheel Wright S. ,C. , and McGee (1983) , " Forecasting Method and Application" ,2nd ed , John Wiley and Sons. Inc. , U.S.A..

Wei, William W.S., (1990), "Time Series Analysis, Addison" Wesley Publishing Company.



### بە کارھینانی مۆدیلی زنجیرە کاتیه وەرزییە کان بۆ پیشیبینی کردنی توانای داواکاری لە سەر کارھبا لە شاری هەولێر لە سالی (2010-2019)

مروان طارق حسن

رفر محمد صالح طاهر

پەیمانگای تەکنیکی کارگیری / زانکۆی پۆلیتەکنیک-ھەولێر

#### پوختە

لەم تویزینەوەدا تویزەران هەلسان بە وەرگرتى دياردهى بې خواست لە سەر وزى کارھبا کە بەشیوھى زنجیرە کاتى بەتىكپاپى مانگانە بۆ دياردهەكە لە شارى (ھەولێر-عێراق) لە ماوهى (2010-2019) لە (بەرپویه رايەتى گشتى کارھبای شارى ھەولێر-بەشى کۆنترۆل) ئەم زنجيرە پىكھاتووه لە (111) بەها، لە كاتى شىكار کردنی زنجيرەكە تویزەران تىيىنيان کرد، كە بەرپوونەوەيەك ھەيە لە دياردهەكەدا لە سەر خواستى گشتى، كە ئەمەش ئەوە دەردهخات پىویستى لە سەر وزى کارھبا بەرپوتوە لە لایەن دانیشتوانى شارەكە لە گەل ژمارەيەك كەم لە بەرزى وۇزمى لە بەھاكانى زنجيرەكەدا، كە ئەمەش ئامازەيە لە سەر بۇونى ناجىنگىرى لە تىكرا ولىتكەچۈون يەك لە دەواي ھەك، وە هەر روھە تىيىن كرا بە بۇونى ئاۋەتىيە وەرزى بە مانايەكى تر گۆرانىك بەرددامەن ھەيە لە ماوهى كە پىتكەخاراو ھەممو (12) مانگ جارىكەدا، بە واتايەكى تر بەرپوونەوە لە پىویستى يان خواست زياد دەبىت لە ماوهى ئامازە پىكراودا، وە بەمەبىسى گۆپىنى زنجيرەكە بۆ بارىتىكى جىنگىر بەدەورى تىكراكەدا، جىاوازى يەكەم وەرگىرا بۆ لادانى كارىگەری ئازارستە گشتى لە زنجيرەكە وە بۆ گۆپىنى جىنگىر بۇونى زنجيرەكە بە گۆپىنى لېكتەچۈون لۇڭارىتى سروشتى و جىاوازى يەكەم بۆ زنجيرە كاتىيەكە وەرگىرا، بۆ لادانى ئاۋەتىيە يان گۆرانى وەرزى جىاوازى وەزى يەكەم بەدرىزايى ماوهى وەرزەكە كە (12) مانگە. بەمەبەستى پىشىبىنى داھاتووى ديازەكە شىۋاھى بوكس-جىنگىز (Box-Jenkins) لە سەر زنجيرە جىنگىرەكە جىن گەيىشتن بە باشتىرىن مۆدیل وەرزى دووئەوەندەي گونجاو لە گەل پىدراراوه كان(داتاكان) لە ئىوان مۆدیلە گەنگەكان بەمەبەستى پىشىبىنى كردن بۆ داھاتوو ئەم سەن پىوهەرە بە كارھات بەمەبەستى دەستىيشان کردن مۆدیلە گەنگەكان كە ئەمانەن: (تىكراي دووجاى ھەنە(MSE))، پىوهەری (Akaike information criterion(AICc))، پىوهەری (Akaike information criterion(AIC)) دەركەوت مۆدیل وەرزى دووئەوەندەي <sup>12</sup> SARIMA(0,1,1)(1,1,2) باشتىرىن زنجيرە کاتى دەنۈنیت لە بەر ئەوهى بچۈتكەرن بەھاھى ھەلە پىوهەرە بە كارھاتووه كانى كە لە سەر رەھو ئامازەيان پىكراوه كە گونجاویشە لە گەل ئەو لادانە لە مۆدیلە كانى تاقىكىردنەوەكەدا ھەيە بە واتاي ئەوهى كە ھەلە دەستىيشانكراوى مۆدیلە كە ھەرمەكى بۇو، وە لەپاش ھەسنىگاندى مۆدیلە گونجاو پىشىياركراوه كە ھەلسائين بە پىشىبىنى كردن بې خواست لە سەر ووزەي كارھبا لە ماوه 12 مانگ(2019-2020) بە ئامانجي سوود وەرگەن بۆ بىرپەسى پلانى داھاتوو.

**كلىلى تویزینەوە :** زنجيرە کاتىيە وەرزىيەكان، جىنگىرى، شىۋاھى بوكس-جىنگىز، خواست لە سەر ووزەي كارھبا.

### The Effect of the Landa Model in Achievement to chemistry Subject in the Seventh Class basic of Female Pupils

Ravaz Muhammad Salih

Marwan Taiq hasan

Institute technical administration-Polytechnic university/Erbil      Administration and economics college-Salahaddin university/Erbil

#### Abstract

In this study, the researchers took the phenomenon of the quantities of demand for electrical energy represented by a time series of monthly rates of the phenomenon for the city of (Erbil - Iraq) for the period (2010 - 2019) from (General Directorate of Electricity of the city of Erbil - the control department) and the series consisted of (111) values, Where the researchers noted when analyzing the chain, there is an increasing general trend of the phenomenon, and this indicates an increased demand for electrical energy by city residents with a few concavities and protrusions of the string values, and this indicates a case of non-stationary counting around the average and the variance, respectively, and it was also observed the presence of Seasonal compound, in other words, there are changes that repeat themselves every regular period (12 months) of the phenomenon, in other words that the need or demand increases its intensity for the mentioned period, and for the purpose of converting the chain to a state of stability around the average, the first difference was taken to remove the chain from the influence of the general trend either to convert the chain to be stable On the variance, the natural logarithm transformation of the time series was taken after the first difference was taken. Either to remove the compound or seasonal changes, the first seasonal difference was taken for the seasonal period amounting to 12 months. For the purpose of future forecasting of the phenomenon, the Box-Jenkins methodology was applied to the stable chain. For this purpose, the researchers selected the seasonal and non-seasonal ranks of the mentioned methodological models ( $p, q, P, Q = 0,1,2,3,4$ ). To reach the best seasonal model, double appropriate, with data from among the significant models for the purpose of predicting the future where the three criteria were used for the purpose of diagnosing the significant models, and they are as follows: (Mean Square Error (MSE)), Akaike information criterion AIC, The standard (Akaike information criterion AICc) used in the research, and we concluded that the SARIMA (0,1,1) (1,1,2) 12 time series represented the best representation because it had the lowest values for the above criteria with a fit to pass a test. The stationary of the models, meaning that the errors of the personalized model were random, and after testing the stationary of the proposed model, we predicted the quantities of demand for electrical energy for a period of 12 months (2019-2020) in order to benefit from them in the future planning process.

**Keywords:** seasonal time series, stability, Box-Jenkins methodology, demand for electrical energy.